

《報文》 HWAHAK KONGHAK Vol. 20, No. 5, October 1982, pp. 343—354
 (Journal of the Korean Institute of Chemical Engineers)

톨루엔의 氣相接觸酸化에 依한 安息香酸의 製造

徐京源·金在振·李華榮

서울大學校 工科大學 化學工學科

(1982년 4월 23일 접수)

Gas-phase Catalytic Oxidation of Toluene to Benzoic Acid

Kyung-Won Seo, Jae-Jin Kim and Wha-Young Lee

Department of Chemical Engineering, College of Engineering,
 Seoul National University, Seoul 151, Korea

(Received; April 23, 1982)

要 約

V_2O_5 와 해테로폴리 12-몰리브도바나도磷酸($H_{3+n}PMo_{12-n}V_nO_{40}$)系触媒에 依한 톨루엔의 氣相接觸酸化反應에서 反應溫度, 空氣와 톨루엔의 混合比 및 空間速度가 主生成物인 安息香酸과 벤조알데히드의 收率과 選擇度에 미치는 影響을 調査하였다. 安息香酸에 對한 最大選擇度는 $H_4PMo_{11}V_1O_{40}$ 触媒를 使用하여, 反應溫度 $450^{\circ}C$, 空氣/톨루엔의 몰比 272, 空間速度 1585 l/hr/l-cat.에서 78%를 얻을 수 있었으며 製造된 触媒들의 酸化力의 크기는 다음과 같았다.



또한 触媒의 酸化反應機構에 Langmuir-Hinshelwood 概念에 依한 酸化一還元反應機構을 適用하였다.

ABSTRACT

Benzoic acid and benzaldehyde were obtained by gas-phase catalytic oxidation of toluene over V_2O_5 and heteropoly 12-molybdovanadophosphoric acid($H_{3+n}PMo_{12-n}V_nO_{40}$). The effects of reaction temperature, air/toluene mole ratio, and space velocity on the yields and selectivities were investigated. With $H_4PMo_{11}V_1O_{40}$ catalyst, the maximum selectivity of benzoic acid, 78%, could be obtained at $450^{\circ}C$, with the space velocity of 1585 l/hr/l-cat. and air/toluene mole ratio 272. The oxidizing power of catalysts in this work was as follows; $V_2O_5 > H_5PMo_{10}V_2O_{40} > H_6PMo_9V_3O_{40} > H_4PMo_{11}V_1O_{40}$. For the catalytic oxidation mechanism, a redox reaction mechanism based upon the Langmuir-Hinshelwood approach was used.

1. 緒論

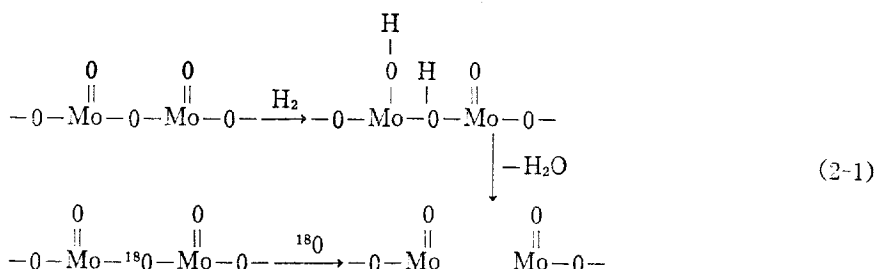
現在까지 工業化된 安息香酸의 製法은^{7, 15~17)} 大部分이 液相에서 코발트 有機鹽을 觸媒로 使用하는 高壓工程으로서, 이들은 觸媒의 回收나 腐蝕, 生成物의 分離, 經濟性 等에 問題點이 多은 것으로 알려져 있다. 또한 氣相에서 酸化하는 境遇, 여려가지 種類의 混合觸媒들이 大部分 特許로 發表되어 있거나,^{5, 6, 11~14)} 學術的인 研究로서 固定層 또는 流動層 觸媒에 依한 톨루엔의 酸化가 發表되어 있으나,^{1~4, 8~10)} 安息香酸이나 벤즈알데히드의 選擇度 面에서 좋은 結果를 얻지 못하고 있다. 그러므로, 本 研究에서는 1970年代에 이르러 올레핀 또는 알데히드의 酸化用 觸媒로¹⁹⁾ 關心의 對象이 되고 있는 헤테로폴리酸系 化合物들 中에서, 安息香酸 및 벤즈알데히드 製造를 為한 톨루엔의 酸化用 觸媒로 優秀하

다는 V, Mo 또는 P 等이 많이 包含된 헤테로 폴리 12-몰리브도바나도磷酸(H₃Po_{12-n}V_nO₄₀)系 觸媒에 依한 酸化反應과 이미 널리 알려진 V₂O₅ 觸媒에 依한 酸化反應을 比較하고자 한다. 아울러, 이들 觸媒에 依한 톨루엔의 酸化反應機構를 檢討해 보고자 한다.

2. 酸化反應機構

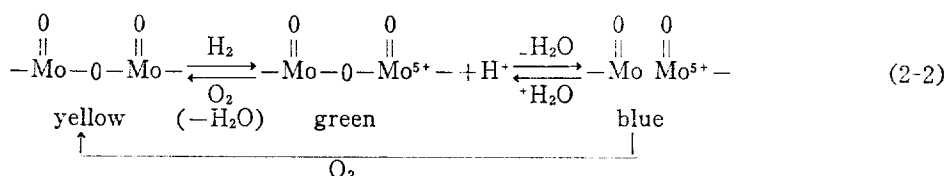
2.1. 反應機構의豫測

헤테로폴리酸系 觸媒에 依한 酸化反應의 境遇 酸化反應에 參與하는 酸素가 格子酸素인가 또는 吸着酸素인가를 究明하기 為한 研究로서, H₂와 O¹⁸의 利用한 酸化-還元 實驗을 行한 結果, Tsuneki는^{23, 24)} 다음과 같은 反應機構에 依해 O¹⁸ 이 格子酸素로 置換되는 것을 確認하여 酸化에 參與하는 酸素가 格子酸素인 것으로 主張하고 있다.



한편, 헤테로폴리酸系 觸媒를 利用하여 메타크론레이인을 酸化시킴으로써 메타크릴酸을 製造하는 反應에서도 酸化에 參與하는 酸素가 吸着酸素가 아니라 格子酸素임이 報告되고 있다.²²⁾

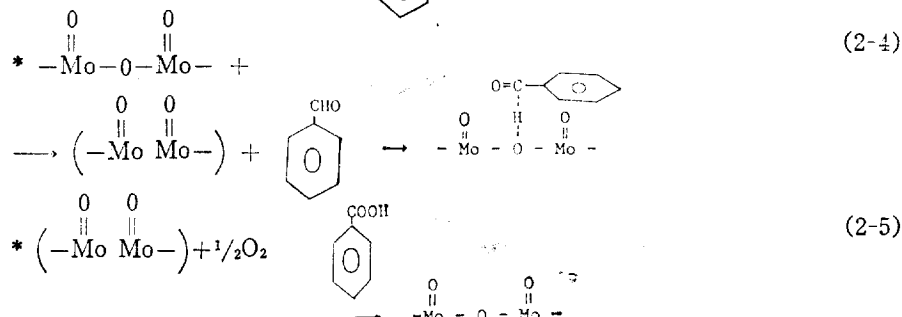
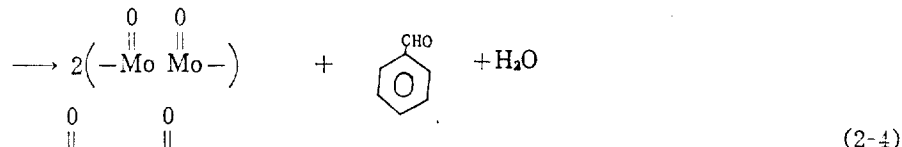
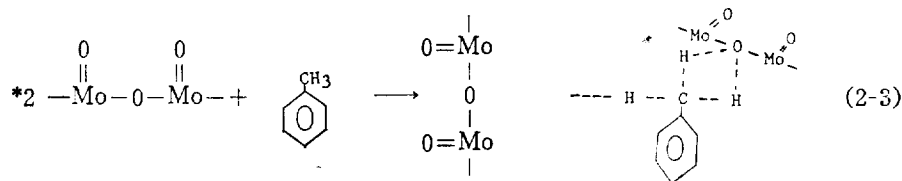
또한 몰리브덴系 헤테로폴리酸 觸媒를 水素로 還元시키면 酸化數가 Mo⁶⁺에서 Mo⁵⁺로 減少하고, 다시 酸素로 酸化시키면 Mo⁵⁺에서 Mo⁶⁺로 酸化數의 增加가 일어난다.^{19, 22)}



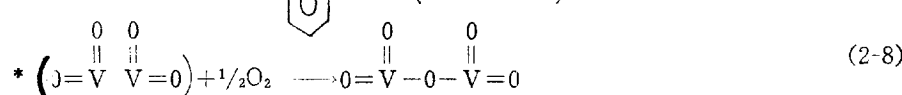
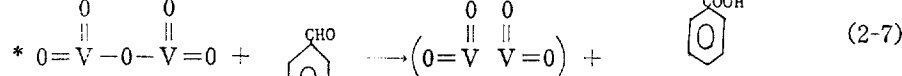
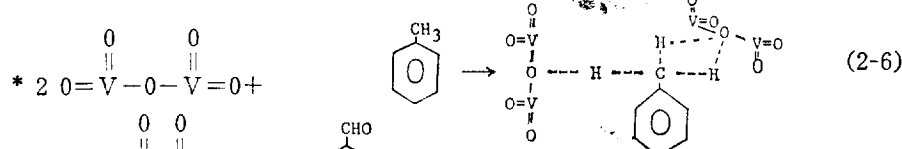
以上과 같은 文獻 및 實驗 結果들로부터 폴리 브렌系 헤테로폴리酸 觸媒를 利用한 톨루엔의 酸化反應이나 V₂O₅를 利用한 톨루엔의 酸化反應

도 反應에 參與하는 酸素가 格子酸素임이 豫測되어 다음의 反應機構가 豫想된다.

2.1.1. 물리브덴系 헤테로폴리酸 觸媒

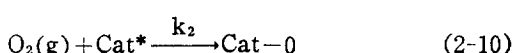
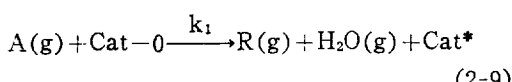


2.1.2. V_2O_5 觸媒



2.2. 反應速度論的 考察²¹⁾

反應물인 틀루엔이 먼저 觸媒表面의 格子酸素과 反應하여 觸媒를 還元시키고, 反應物로 供給되는 酸素에 依해 還元된 觸媒가 再酸化된다면, 鞭化-還元 反應을 다음과 같이 表示할 수 있다.



여기서, 反應氣體 中의 틀루엔 濃度를 C_A , 觸媒表面의 格子酸素 濃度를 \bar{C}_0 라고 하면, Langmuir-Hinshelwood 概念에 依해 (2-9)式으로 부터 酸化反應速度는 $r_A = k_1 C_A \bar{C}_0$ 가 되고, 酸化反應에 依해 還元된 觸媒가 再酸化되는 speed를 r_0 라 하고, 酸素의 反應物 中의濃度를 C_{O_2} , 觸媒表面에 存在可能한 格子酸素의濃度를 \bar{C}_M 라고 하면, $r_0 = k_2 C_{O_2} (\bar{C}_M - \bar{C}_0)$ 가 된다. 이때, 두反應에 對해서 stationary steady state를 假定하면 $r_A = r_0$ 가 되어 r_A 를 瞬을 수 있다.

$$r_A = \frac{(k_1 k_2 \bar{C}_M) C_{O_2} C_A}{k_1 C_A + k_2 C_{O_2}} = \frac{k C_{O_2} C_A}{k_1 C_A + k_2 C_{O_2}}$$

여기서, $k = k_1 k_2 \bar{C}_M$ (2-11)

한편, 反應物 中의 酸素濃度가 틀루엔濃度보다 훨씬 높고, 反應에 依한 轉換率이 낮다면 酸素의濃度는 거의一定하므로, 式(2-11)은 틀루엔濃度만의函數가 되고, 이의 逆을 取하면,

$$\frac{1}{r_A} = \frac{k_1}{k C_{O_2}} + \frac{k_2}{k C_A} = a + \frac{b}{C_A} \quad (2-12)$$

여기서, $a = k_1/k C_{O_2}$, $b = k_2/k$

가 된다. (2-12)式은 $1/r_A$ 와 $1/C_A$ 의線形關係式이므로 實驗結果로 부터 얻은 $1/r_A$ 와 $1/C_A$ 로부터 線形關係임을 確認하면豫想한酸化還元反應機構를 確認할 수 있다.

2.3. 微分反應器 解析

一般的으로 微分反應器 式에 依한 解析은 10%미만의 낮은 轉換率을 갖는反應에 對해서 適用하나, 本研究에서는 10%內外의 轉換率을 갖는 結果值에 對해서 解析하였다.

3. 實驗

3.1. 觸媒의 製造

本研究에서는 틀루엔酸化用觸媒로 널리 알려진 V_2O_5 를 最近에 報告된 文獻에 依해서 實驗室에서 製造하고, 새로이 V, P, Mo等이 包含된 헤테로폴리酸系觸媒도 實驗室에서 製造하여 서로 比較하였다.

3.1.1. V_2O_5 ⁵⁾

朱錫酸 25g을 含有하는 水溶液을 80°C 로 加熱한 後 V_2O_5 12.3g를 서서히 溶解하여 朱錫酸바나듐水溶液 100mL를 製造한 다음, 이溶液을 100°C 以下에서 서서히 乾燥시킨 後 360°C 로 6時間以上 燃成하여 얻는다.

3.1.2. $H_4PMo_{11}V_1O_{40} \cdot xH_2O$ ¹⁸⁾

Na_2HPO_4 7.1g을 蒸溜水 100mL에 넣어 加熱溶解시키고, 한편으로 m-NaVO₃ 7.8g을

100mL의蒸溜水에 넣어 加熱하면서 溶解시킨 다음, 두溶液을 섞어서 常溫으로 冷却시킨다. 이溶液에 5N-H₂SO₄ 5mL를 添加하여 酸性溶液으로 한 다음, $\text{Na}_2\text{MoO}_4 \cdot 2\text{H}_2\text{O}$ 133g을 증류수 200mL에 溶解하여 두solution을 混合한다. 이混合solution에 85mL의濃黃酸을 添加하고 에틸에테르 400mL를 넣어 抽出하면, mixed solution은 세層으로 分離되는데, 그中에서 中間層인 헤테로폴리에테르層을 分離하여 空氣乾燥시킨다. 乾燥된 物質에 다시 蒸溜水 50mL를 넣고 減壓下에서 乾燥하여 結晶을 만들고, 이를 濾過하여 다시 蒸溜水에 溶解시킨 다음, 다시 空氣乾燥하여 얻는다.

3.1.3. $H_5PMo_{10}V_2O_{40} \cdot xH_2O$, $H_6PMo_9V_3O_{40} \cdot xH_2O$, $H_4PMo_{11}V_1O_{40} \cdot xH_2O$
觸媒의 製造方法과 同一하나, Na_2HPO_4 , $\text{Na}_2\text{MoO}_4 \cdot 2\text{H}_2\text{O}$, m-NaVO₃, 에틸에테르等의 量만 다르며, 이때 P : Mo : V가 각각 1 : 10.97 : 1.24, 1 : 9.80 : 2.16 및 1 : 9.07 : 3.04인 Tsigdinos의 製造方法¹⁸⁾을 따랐다.

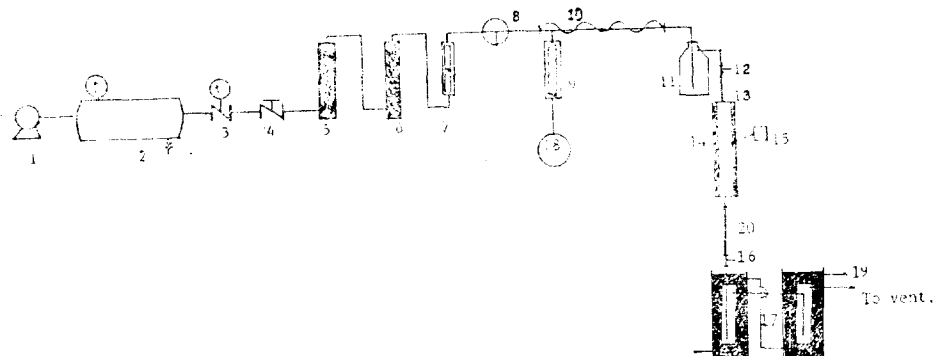
3.2. 觸媒의 構造 및 特性 分析

3.2.1. 赤外線分光分析 및 X-線回折分析^{18-20,22)}

實驗室에서 製造된 헤테로폴리酸系觸媒가 實際로 Keggin構造를 갖는지를 確認하기 為하여 赤外線分光分析 結果, 1060cm^{-1} 부근에서 P-O의結合, 60cm^{-1} 부근에서 Mo=0 및 V=0의結合, 860cm^{-1} 과 780cm^{-1} 부근에서, Mo-O-Mo, Mo-O-V 및 V-O-V의結合特性을 보여 주었고, X-線回折analysis 結果, 回折角 2θ 가 $7\sim10^{\circ}$, 특히 $2\theta = 8^{\circ}$ ($d = 11\text{\AA}$)에 最大强度의回折特性을 보여주는 典型的인 Keggin構造의 헤테로폴리酸임을 確認할 수 있었다.

3.2.2. 熱分析

製造된 헤테로폴리酸系觸媒들의 熱的特性을 調查하고 結晶水를 調査하기 為하여 熱分析裝置를 利用하였으며, 그結果는 Table 1과 같다. 헤테로폴리酸系觸媒의 特徵인 多量의 結晶水分子는 TGA(質量變化分析)의 減量曲線에서 測定된



- | | |
|--|-------------------------------------|
| 1. Compressor | 2. Air Tank |
| 3. Pressure Regulator | 4. Needle Valve |
| 5. Scrubbing Unit with anhydrous CaCl_2 | 6. Scrubbing Unit with Caustic Soda |
| 7. Rotameter | 8. Three-Way Cock |
| 9. Micro Feeder (continuous) | 10. Vaporizer |
| 11. Surge Tank | 12. Reactant Gas Sampling Cock |
| 13. Reactor | 14. Heater |
| 15. Temperature Regulator | 16. Product Gas Sampling Cock |
| 17. Cold Trap | 18. Toluene Supply |
| 19. Cold Water | 20. Air condenser |

Fig. 1. Schematic Diagram of Toluene Oxidation Unit

質量變化率로 부터 算出하였으며 $80\sim430^\circ\text{C}$ 에서 四次에 걸친 結晶水의 脱水가 일어나고 620°C 近處에서 헤테로폴리酸系 化合物의 一般的인 結晶構造인 Keggin 構造의 完全破壞가 일어남을 確認하였다.

Table 1. Thermal Behavior of Heteropoly Molybdo-vanadophosphates

Compounds	Hydration (x/mole)	Dehydration ($^\circ\text{C}$)	Decomposition ($^\circ\text{C}$)
$\text{H}_4\text{PMo}_{11}\text{V}_1\text{O}_{40} \cdot x\text{H}_2\text{O}$	33	80	120 140 440 615
$\text{H}_5\text{PMo}_{10}\text{V}_2\text{O}_{40} \cdot x\text{H}_2\text{O}$	33	80	120 140 430 625
$\text{H}_6\text{PMo}_9\text{V}_3\text{O}_{40} \cdot x\text{H}_2\text{O}$	33	80	120 140 425 630

3.2.3. 表面積測定

製造된 V_2O_5 및 헤테로폴리酸系 觸媒들의 表面積을 B.E.T 吸着裝置를 利用하여 測定한 單位質量當 表面積 및 比重은 Table 2 와 같다.

Table 2. Physical Properties of Catalysts

Catalyst*	Specific Surface Area (m^2/g)	Specific Gravity (g/cm^3)
V_2O_5	8.32	1.21
$\text{H}_4\text{PMo}_{11}\text{V}_1\text{O}_{40}$	10.94	1.28
$\text{H}_5\text{PMo}_{10}\text{V}_2\text{O}_{40}$	9.4	1.14
$\text{H}_6\text{PMo}_9\text{V}_3\text{O}_{40}$	5.33	1.19

* dehydrated state after 450°C preheating

3.3. 酸化實驗 및 分析

本研究에서 使用한 實驗裝置는 Fig. 1 과 같다. 壓縮空氣는 水分과 二酸化炭素 等은 無水鹽化칼슘과 苛性소다 層을 通하여 除去하였고, 톨루엔은 微量液體注入器에 依해 蒸發器에 注入되어 空氣와 함께 흐르도록 하였다. 反應器 前에 反應氣體를 分析할 수 있도록 sampler 를 設置하였으며 生成物인 安息香酸을 固體狀態로 保持する 空氣冷却器를 設置한 뒤에 氣體生成物를 分析하기 为了 sampler 를 設置하였다. 反應管은 Pyrex 管($\phi 1.26\text{cm} \times 46\text{cm}$)을 使用하였고, 觸

媒層은 유리솜으로 支持하였다. 反應溫度는 反應管內의 觸媒層에 热傳帶를 넣어 溫度調節器로써 調節하였으며, 反應混合物의 空氣/톨루엔 폴비는 微量液體注入器의 速度와 空氣의 流量을 調節하여 任意로 調節하였고, 톨루엔 蒸發管의 溫度는 180°C로 維持시켰다.

氣體 反應物 및 生成物 分析은 가스크로마토그라프를 使用하였으며, 氣相 生成物 中 二酸化炭素는 活性炭을 充填物質로 한 칼럼에서, 그 外의 氣相 有機化合物 特히 벤즈알데히드는 SE-30을 充填物質로 한 칼럼에서 分析하였다. 安息香酸은 大部分을 空氣冷却器에 固體狀態로 凝縮시키 反應 完結後에 아세톤으로 洗滌하여 定量하였고, 赤外線分光分析器를 使用하여 凝縮된 固體가 安息香酸임을 確認하였다. 톨루엔의 轉換率은 反應 前後의 試料 속의 톨루엔 濃度로부터 곧 바로 計算할 수 있었다.

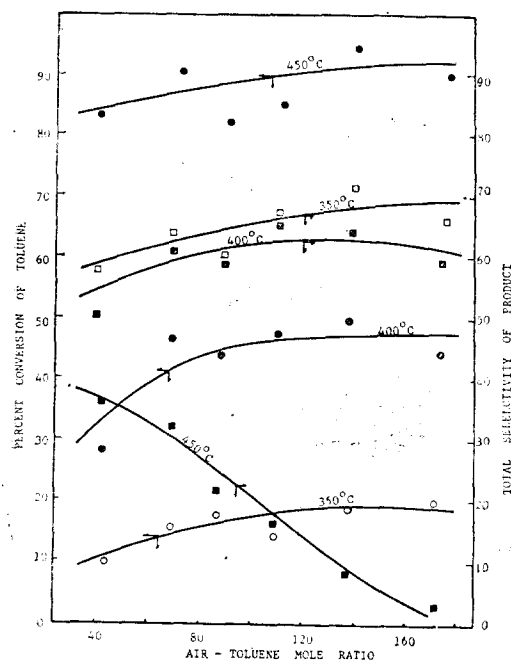


Fig. 2. Air/toluene mole ratio vs. percent conversion of toluene and total selectivity of product. V_2O_5 catalyst at space velocity, 1/hr/1-cat
●○●○ conversion,
■□■□ total selectivity

4. 結果 및 討論

4.1. 觸媒의 活性

4.1.1. V_2O_5 觸媒

反應溫度의 變化 및 空氣/톨루엔 폴비變化에 對한 톨루엔 轉換率의 變化 및 安息香酸과 벤즈알데히드를 合한 全體 選擇度의 變化를 Fig. 2에 각각의 선택도 변화를 Fig. 3에 나타내었으며, 公간속도 변화에 對한 安息香酸과 벤즈알데히드 각각의 收率 變化 및 全體 選擇度 變化를 Fig. 4에 나타내었다.

Fig. 2에서 볼 수 있듯이 톨루엔의 轉換率은 溫度의 增加에 따라 增加하여, 폴비의 增加 즉 톨루엔 分壓의 減少에 따라 增加하는 傾向이 있으나 폴비가 커짐에 따라 다시 減少할 것으로豫測된다. 이는 觸媒表面의 吸着點이 制限되어 있으므로, 주어진 空間速度에서 觸媒 表面에

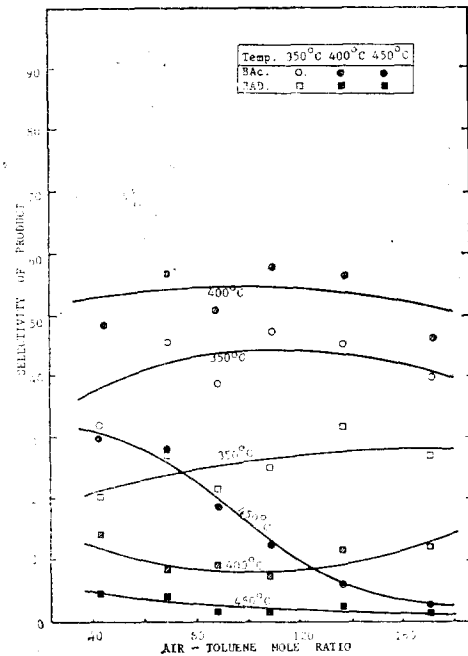


Fig. 3. Air/toluene mole ratio vs. selectivity of benzoic acid and benzaldehyde. V_2O_5 catalyst at space velocity 1535 1/hr/1-cat

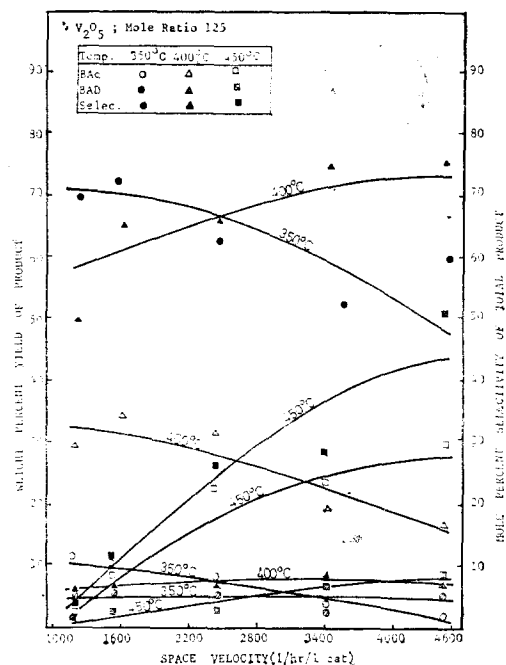


Fig. 4. Space velocity vs. weight percent yield of product and mole percent selectivity of total product. V_2O_5 , Air/Tol. mole ratio 125

最大分率로 吸着될 수 있는 톨루엔 分壓까지는 톨루엔의 分壓 減少에 따라 轉換率이 增加할 것이고, 톨루엔 分壓이 더욱 낮아지면 吸着될 수 있는 톨루엔의 分率이 톨루엔의 分壓 減少에 따라 減少하여 轉換率은 減少할 것으로豫測된다. 安息香酸과 벤즈알데히드를 合한 全體選擇度는 350°C 일 때가 가장 높으며, 溫度 增加에 따라 減少한다. 特히, 450°C 的 境遇에 물比가 높을수록 選擇度 減少現象이 두렷이 나타나는데, 이는 톨루엔의 分壓 減少에 따라 吸着된 톨루엔이 部分 酸化되어 벤즈알데히드나 安息香酸의 狀態로 脫着되지 않고, 完全酸化되어 二酸化炭素로 轉換되기 때문이며, 낮은 물比 즉 톨루엔의 分壓이 높을 때 全體 選擇度가 높은 것은, Fig. 3에서도 볼 수 있듯이, 安息香酸의 選擇度 增加 때문인데, 이는 吸着된 톨루엔이 安息香酸까지만 部分 酸化되어 脫着되는 量이 增加하는 反面에, 完全 酸化되어 二酸化炭素로 轉換되는 量은 減少하기 때문이다.

Fig. 3에서 볼 수 있듯이, 주어진 反應條件에서 安息香酸의 選擇度가 벤즈알데히드의 選擇度보다 恒常 높으며, 물比增加에 따라 最大 選擇度를 보이는 傾向이 있는데, 이로 부터 주어진 反應溫度와 空間速度에서 願하는 反應이 일어날 수 있는 反應物의 最適濃度가 存在함을 알 수 있다. 또 反應溫度가 400°C 로 增加하면 安息香酸의 選擇度는 增加하고 벤즈알데히드의 選擇度는 減少하는데, 이는 溫度 增加에 따라 反應速度가 增加하여 觸媒 表面에 吸着된 톨루엔이 酸化에 依해 벤즈알데히드로 되는 것보다 더욱 酸化되어 安息香酸으로 되었다고 볼 수도 있으며, 或은 生成된 벤즈알데히드가 觸媒層을 지나는 동안 再吸着되어 安息香酸으로 再酸化되기에 適當한 反應溫度라고 解析된다. 또 한 反應溫度가 450°C 로 更加하면 톨루엔이 二酸化炭素로 完全 酸化되어 安息香酸 및 벤즈알데히드의 選擇度가 急激히 減少함을 알 수 있다. 結論的으로 V_2O_5 觸媒는 安息香酸으로의 選擇性이 벤즈알데히드로의 選擇性보다 높으며, 安息香酸製造를 為해서는 400°C 反應이, 벤즈알데히드製造를 為해서는 350°C 反應이 좋다.

Fig. 4에 나타낸 바와 같이, 空間速度가 2400 l/hr/l.cat . 以下에서는 350°C 反應이, 2400 l hr/l.cat . 以上에서는 400°C 反應이 全體 選擇度 面에서 優勢하고, 單一反應에 依해서 安息香酸을 製造할 境遇, 空間速度가 3200 l hr/l.cat . 以下에서는 400°C 反應이, 3200 l hr/l.cat . 以上에서는 450°C 反應이 收率面에서 優勢하다. 反面에 벤즈알데히드의 收率은 空間速度의 變化에 敏感하지 않으며, 대체로 10wt% 미만이고, 400°C 反應이 좋다. 또 350°C 와 400°C 에서 安息香酸의 收率은 空間速度 增加에 따라 減少하나, 450°C 에서는 空間速度 增加에 따라 增加한다. 즉 350°C 와 400°C 에서는 450°C 보다 反應速度가 낮으므로 接觸時間이 길수록, 다시 말해 空間速度가 낮을수록 安息香酸이 많이 生成되며, 450°C 에서는 接觸時間이 길수록 完全酸化가 일어나 二酸化炭素가 많이 生成되기 때문이다. 그러나 接觸時間이 짧아짐에 따라 完全酸化가 덜 일어나 安息香酸의 收率이 높아진다. 또

400°C 反應이 350°C 反應보다 安息香酸의 收率이 높은 것은 反應速度의 差異 때문이다. 벤즈알데히드의 收率도 安息香酸과 같은 傾向을 나타내며, 같은 解析을 할 수 있다.

4. 1. 2. $H_4PMo_{11}V_1O_{40}$ 触媒

反應溫度의 變化 및 空氣／톨루엔 몰比變化에
對한 톨루엔 轉換率의 變化 및 安息香酸과 벤즈
알데히드를 合한 全體 選擇度의 變化를 Fig. 5
에, 각각의 選擇度變化를 Fig. 6에, 空間速度
變化에 對한 암식향산과 벤즈알데히드 각각의 收
率變化 및 全體 選擇度 變化를 Fig. 7에 나타
내었다.

*Fig. 5*에서 볼 수 있듯이 툴루엔의 轉換率은 *Fig. 2*의 V_2O_5 觸媒보다 낮으나 비슷한 傾向을 보이므로 같은 解析을 할 수 있으며, 같은 反應條件에서는 V_2O_5 觸媒보다 酸化力이 낮다고 解析할 수 있다. 또 全體選擇度는 률比가 130以

下에서는 350°C 反應이, 130 以上 240 以下에 서는 400°C 反應이, 240 以上에서는 450°C 反應이 높고, 450°C 反應에서는 물比 增加에 따라 增加하나, 350°C 와 400°C 反應에서는 물比 增加에 따라 減少한다. 또 450°C 反應에서 물비가 160 에서 最大 轉換率을 보이는데, 이는 觸媒 表面의 吸着點이 制限되어 있으므로, 주어진時間 潤度에서 觸媒 表面에 最大 分率로 吸着될 수 있는 틀루엔 分壓까지는 틀루엔 分壓의 減少 즉 물比의 增加에 따라 轉換率이 增加하고, 틀루엔 分壓이 더욱 낮아지면 吸着될 수 있는 틀루엔의 分率이 틀루엔의 分壓 減少 즉 물비의 增加에 따라 減少하여 轉換率이 減少하는 것으로 解析된다. 反面에 全體選擇度가 急激히 增加하는 것은 轉換率이 낮은 예 反하여 二酸化炭素로의 完全 酸化보다 安息香酸으로의 部分 酸化가 優勢하기 때문이다.

*Fig. 6*에서 볼 수 있듯이, 350°C 반응에서

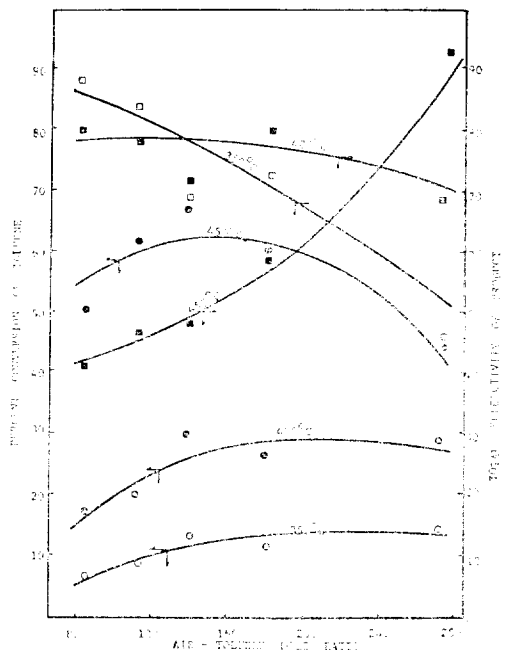


Fig. 5. Air/toluene mole ratio vs. percent conversion of toluene and total selectivity of product. $H_4PMo_{11}O_{40} \cdot xH_2O$ catalyst at space velocity, 1585 l/hr/l-cat.
 ●○○ conversion,
 □■■ total selectivity

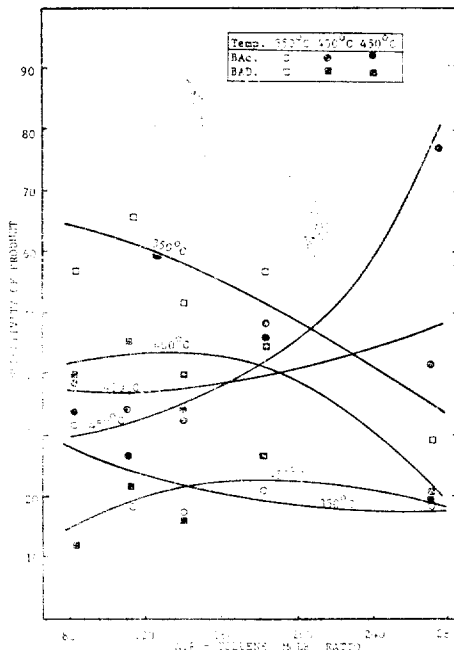


Fig. 6. Air/toluene mole ratio vs. selectivity of benzoic acid and benzaldehyde. $H_4PMo_{11}V_1O_{40}\cdot xH_2O$ catalyst at space velocity 1585 1/hr/^{1-cat}

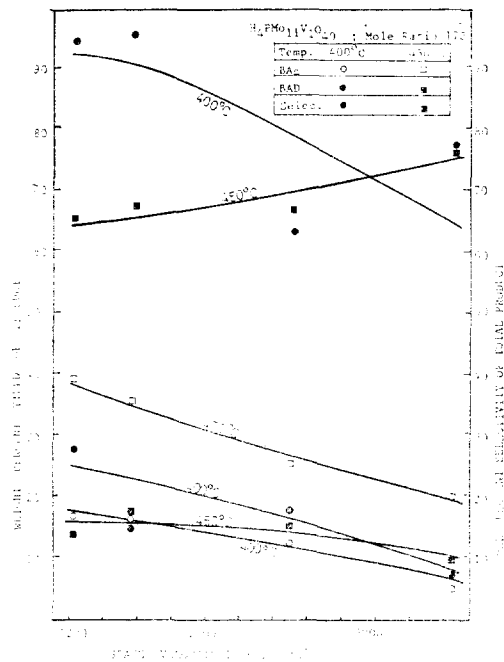


Fig. 7. Space velocity vs. weight percent yield of product and mole percent selectivity of total product. $H_4PMo_{11}V_1O_{40} \cdot xH_2O$, Air/Tol. mole ratio 172

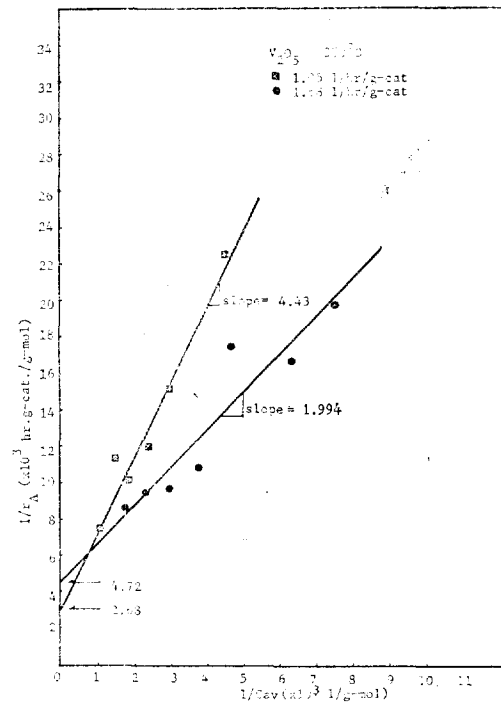


Fig. 8. $1/r_A$ vs. $1/Cav$ plot; V_2O_5 catalyst at $350^\circ C$ with space velocity 1.05 and 1.68 1/hr/g-cat.

벤즈알데히드의 選擇度가 安息香酸의 選擇度보다 매우 높은데, 이는 벤즈알데히드로의 部分酸化力이 높은 때문이고, 反應溫度가 $400^\circ C$ 로 增加하면 몰比 190 以下에서 벤즈알데히드의 選擇度가 安息香酸의 選擇度보다 높으나, 몰比 190 以上에서는 安息香酸의 選擇度가 더 높다. 이는 反應溫度 增加에 依해 反應速度가 增加함에 따라 酸化力이 增加하고, 또한 生成된 벤즈알데히드가 触媒層을 지나는 동안에 安息香酸으로 再酸化되기 때문이다. $450^\circ C$ 에서도 安息香酸의 選擇度는 더욱 增加하고, 벤즈알데히드의 選擇度는 急激히 減少한다. 結論的으로 $H_4PMo_{11}V_1O_{40}$ 触媒를 利用한 安息香酸의 製造를 為해서는 $450^\circ C$ 反應이, 벤즈알데히드 製造를 為해서는 $350^\circ C$ 에서 還流操作에 依한 反應이 좋다.

Fig. 7에서 볼 수 있듯이 $400^\circ C$ 와 $450^\circ C$ 反應에서 安息香酸과 벤즈알데히드의 收率은 空間速度의 增加에 따라 減少한다. 이는 接觸時間이

짧아지기 때문에 安息香酸과 벤즈알데히드로의 部分酸化에 必要한 接觸時間이 減少한 結果로 解析되며, $450^\circ C$ 反應이 $400^\circ C$ 反應보다 收率이 높은 것은 反應速度가 빠르고, $400^\circ C$ 보다 $450^\circ C$ 에서의 部分酸化 溫度로 適當하기 때문이다.

4.1.3. $H_5PMo_{10}V_2O_{40}$ 触媒

Fig. 2의 V_2O_5 触媒와 Fig. 5의 $H_4PMo_{11}V_1O_{40}$ 触媒와 같은 反應條件인 $1585l/hr/l\text{-cat.}$ 와 $350, 400, 450^\circ C$ 에서의 톨루엔 轉換率이 $H_4PMo_{11}V_1O_{40}$ 触媒보다 높았으며, $400, 450^\circ C$ 에서 V_2O_5 触媒보다 낮고 $350^\circ C$ 에서는 높았으나, 安息香酸과 벤즈알데히드의 收率은 모두 낮았다.

4.1.4. $H_5PMo_9V_3O_{40}$ 触媒

앞의 触媒들과 같은 反應條件에서, 톨루엔의 轉換率이 V_2O_5 触媒와 $H_5PMo_9V_3O_{40}$ 触媒보다 낮고, $H_4PMo_{11}V_1O_{40}$ 触媒보다 높았으나, 安息香酸과 벤즈알데히드의 收率은 모두 낮았다.

Table 3. $1/r_A = a + b/C_A$ at 350°C

Catalyst	Space Velocity (1/hr/g-cat.)	a (hr.g-cat./mol)	b (hr.g-cat./l)
V_2O_5	1.05	2.68×10^3	4.43
V_2O_5	1.68	4.72×10^3	1.994
$H_4PMo_{11}V_1O_{40}$	1.46	21.63×10^3	2.049

香酸과 벤즈알데히드의 收率은 모두 낮았다.

4.2. 反應機構 解析

2章에서 豫測한 酸化-還元 反應機構을 解析하기 爲하여 轉換率이 10% 内外인 實驗值는 V_2O_5 觸媒의 350°C 反應 中에 空間速度가 1.05l/hr/g-cat. 및 1.68l/hr/g-cat.인 境遇의 $H_4PMo_{11}V_1O_{40}$ 觸媒의 350°C 反應 中에 空間速度가 1.46l/hr/g-cat.인 境遇에 用을 수 있었다. 이들에 對한 實驗結果值를 Fig. 8, 9 및 Table 3에 나타내었다.

Fig. 8, 9에서 볼 수 있듯이 $1/r_A$ 와 $1/C_A$ 의

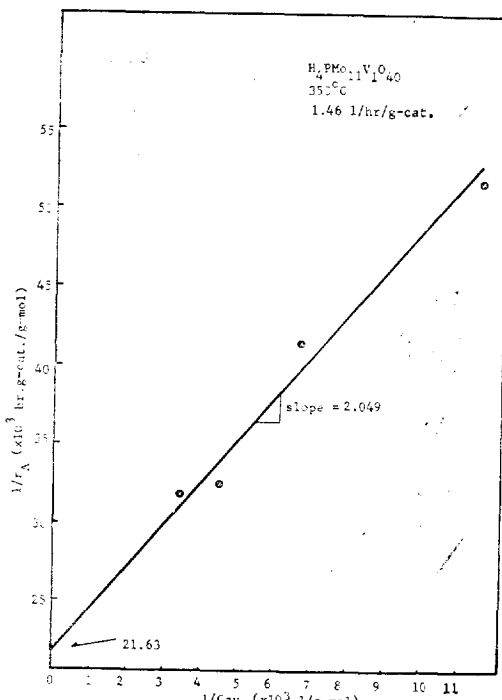


Fig. 9. $1/r_A$ vs. $1/C_A$ plot; $H_4PMo_{11}V_1O_{40}$ catalyst at 350°C with space velocity 1.46 1/hr/g-cat

사이에 線形關係式을 나타내므로, 2章에서 豫測된 酸化-還元 反應機構(redox reaction mechanism)로 解析할 수 있으며, Table 3으로부터 다음과 같은 反應速度式을 表示할 수 있었다.

$$r_A = \frac{C_A}{4.43 + 2.68 \times 10^3 C_A}, \quad V_2O_5, 350^\circ C, \\ 1.05 l/hr/g-cat. \quad (4-1)$$

$$r_A = \frac{C_A}{1.994 + 4.72 \times 10^3 C_A}, \quad V_2O_5, 350^\circ C, \\ 1.68 l hr/g-cat. \quad (4-2)$$

$$r_A = \frac{C_A}{2.049 + 21.63 \times 10^3 C_A}, \quad H_4PMo_{11}V_1O_{40}, \\ 350^\circ C, \\ 1.46 l hr/g-cat. \quad (4-3)$$

5. 結論

1. 安息香酸에 對한 最高 選擇度는 $H_4PMo_{11}V_1O_{40}$ 觸媒의 450°C, 률比, 272, 空間速度 1584.79/l·hr/g-cat.에서 78%를 보였다.

2. 單一反應 收率面에서 安息香酸만을 生成物로 할 境遇, $H_4PMo_{11}V_1O_{40}$ 觸媒의 450°C 反應이나 V_2O_5 觸媒의 400°C 反應이 좋으며, 벤즈알데히드만을 生成物로 할 境遇, $H_4PMo_{11}V_1O_{40}$ 觸媒에 依한 350°C 反應이 效果的이었다.

3. 觸媒의 酸化反應機構을 Langmuir 概念에 依한 酸化-還元 反應機構로 解析할 수 있었다.

4. 製造된 觸媒의 酸化力은 $V_2O_5 > H_5PMo_{10}V_2O_{40} > H_6PMo_9V_3O_{40} > H_4PMo_{11}V_1O_{40}$ 의 順이었다.

使 用 記 號

C_A Concentration of totuene(g.mole/l)

\bar{C}_0 Concentration of surface lattice oxygen

C_{O_2} Concentration of oxygen in the reactant gas mixture

- \bar{C}_M Total concentration of surfacelattice oxygen
 k_1 Reaction rate constant of oxidation
 k_2 Reaction rate constant of reoxidation
 $k = k_1 k_2 \bar{C}_M$
 r_o Rate of reoxidation
 r_A Rate of oxidation(g-mole/hr.g-cat.)
 v space velocity of reactant gas mixture
 BAc Benzoic acid
 BAD Benzaldehyde

1638.
9. M. Ai and S. Sadao, J. Chem. Soc. Japan, (1972), 6.
10. R.K. Sharma and R.D. Srivastava, J. AIChE, 27(1981), 41.
11. U.S. Patent 3,336, 373(1967).
12. U.S. Patent 3,631, 204(1971).
13. U.S. Patent 3,774, 262(1973).
14. U.S. Patent 3,946, 067(1976).
15. Japan Patent 49-36701(1974).
16. U.S. Patent 4,088, 823(1978).
17. U.S. Patent 3,790, 624(1974).
18. G.A. Tsigdinos and C.J. Hallada, Inorg. Chem., 7(1968), 437.
19. G.A. Tsigdinos, Molybdenum Chemicals, Climax Molybdenum Co., (1969).
20. J.F. Keggin, Proc. Roy. Soc. Ser., (1934), 75.
21. J.M. Smith, "Chemical Engineering Kinetics," 3rd ed., McGraw-Hill, New York, 1981, p.375.
22. J.J. Kim, PhD Thesis, Seoul National University, 1981.
23. H. Tsuneki, et al., Chemistry Letters, Chem. Soc. of Japan, (1978), 645.
24. H. Tsuneki, et al., Chemistry Letters, Chem. Soc. of Japan, (1978), 1183.

参考文献

1. R. Prasad, et al., Chem. Eng. World, 14 (1979), 61.
2. W.G. Parks and J. Katz, Ind. Eng. Chem., 28(1936), 319.
3. W.G. Parks and R.W. Yula, Ind. Eng. Chem., 33(1941), 891.
4. S.K. Bhattacharyya and V.K. Sharma, Indian J. of Tech., 14(1976), 448.
5. Japan Patent 48-33740(1973)
6. 工業化學雜誌, 74(1971), 1638.
7. C.F. Hendriks, et al., Ind. Eng. Chem., (1978), 256.
8. M. Ai, Kogyo Kagaku Zasshi, 74(1971),

감사

본 연구를 수행하는데에 연구비를 지원해 주신 한국과학재단에 감사를 드립니다.

